

# ЭФФЕКТ ФАРАДЕЯ В АТОМАРНЫХ СЛОЯХ РУБИДИЯ С ТОЛЩИНОЙ МЕНЕЕ 100 нм

*A. Саргсян<sup>a\*</sup>, A. Амирян<sup>a,b</sup>, Д. Саркисян<sup>a\*\*</sup>*

*<sup>a</sup> Институт физических исследований Национальной академии наук Армении  
0203, Аштарак, Армения*

*<sup>b</sup> Laboratoire Interdisciplinaire Carnot de Bourgogne, UMR CNRS  
6303, Université de Bourgogne Franche-Comté, Dijon, France*

Поступила в редакцию 30 июня 2018 г.,  
после переработки 30 июня 2018 г.  
Принята к публикации 13 сентября 2018 г.

Исследовано взаимодействие атомов рубидия с сапфировыми окнами ячейки при расстоянии  $L$  между окнами в интервале 40–100 нм. Для исследований использовался эффект фарадеевского вращения (ФВ) (вращение плоскости поляризации излучения в магнитном поле) в тонком столбе паров атомов рубидия на  $D_{1,2}$ -линиях. С уменьшением  $L$  от 100 нм до 40 нм регистрируется «красный» сдвиг частоты сигнала ФВ, который возрастает от 10 МГц до 250 МГц, при этом уширение низкочастотного крыла возрастает до величины  $\sim 1$  ГГц. Показано, что для такого рода исследований более удобным является атомный переход  $^{85}\text{Rb}$ ,  $D_1$ -линии  $F_g = 3 \rightarrow F_e = 2$ , поскольку в этом случае удается его спектрально отделить от остальных сильно уширенных атомных переходов. Определены величины  $C_3$ , которые характеризуют взаимодействие атом–поверхность для  $D_1$ - и  $D_2$ -линий Rb. Продемонстрировано, что при толщинах наноячейки  $L < 100$  нм с увеличением плотности атомов Rb происходит дополнительный частотный «красный» сдвиг, который отсутствует при больших  $L$ . Описано практическое применение сигнала ФВ для измерения сильных магнитных полей (в несколько кГс).

**DOI:** 10.1134/S0044451019030027

## 1. ВВЕДЕНИЕ

Простейшим примером ван-дер-ваальсова (ВВ) взаимодействия (которое продолжает привлекать пристальное внимание исследователей) между двумя телами является взаимодействие одиночного атома, находящегося на малом расстоянии ( $\leq 100$  нм) от поверхности диэлектрика [1]. Ранее в ряде работ использовался процесс резонансного селективного отражения (СО) лазерного излучения от тонких атомарных слоев щелочных металлов [2–5]. Лазерное излучение направлялось перпендикулярно к поверхности окна, а излучение СО распространялось в обратном направлении. СО формируется столбом паров атомов щелочных металлов с толщиной  $L \approx \approx \lambda/2\pi$ , где  $\lambda$  — длина волны лазера с частотой, резонансной атомному переходу. В работах [1–3] использовалось излучение с длиной волны  $\lambda = 895$  нм, частота которой резонансна  $D_1$ -линии Cs. При от-

носительно малой толщине  $L \approx 140$  нм вследствие ВВ-взаимодействия регистрировался небольшой «красный» сдвиг частоты (в несколько мегагерц) излучения СО. Большой частотный красный сдвиг, достигающий нескольких гигагерц, был продемонстрирован в работе [6]. Красный сдвиг частоты был также зарегистрирован в спектрах поглощения и флуоресценции атомов Cs и Rb, содержащихся в наноячейке [7, 8]. Особо выделим работу [9], в которой показано, что наличие поверхностного поляритона на длине приблизительно 12 мкм в самой сапфировой подложке-окне (ячейки, заполненной атомами Cs) может быть выявлено с помощью процесса СО выбором определенной конфигурации атомных уровней. При этом использовалось излучение двух лазеров и влияние поверхностного поляритона проявлялось в виде «синего» сдвига частоты на переходе  $6P_{1/2}-6D_{5/2}$  ( $\lambda = 876$  нм). В работе [10] на подложку-окно ячейки, заполненной атомами Cs, предварительно наносилось полупрозрачное металлическое покрытие, влияние которого проявлялось в изменении формы спектра СО. Отмечен-

\* E-mail: sarmeno@mail.ru

\*\* E-mail: davsark@yahoo.com

ные выше результаты свидетельствуют о том, что исследование взаимодействия атом–поверхность является удобным инструментом для изучения самой поверхности. Ниже приведены результаты исследования взаимодействия атомов Rb с диэлектрической поверхностью — сапфировыми окнами ячейки с расстоянием  $L$  между окнами 40–100 нм. Использовался эффект фарадеевского вращения, что так же, как и CO, обеспечивает необходимое субдоплеровское разрешение, однако в ряде случаев может являться более удобным инструментом для отмеченных выше исследований.

## 2. ЭКСПЕРИМЕНТ

### 2.1. Конструкция наноячейки

На рис. 1 приведена фотография наноячейки (НЯ). Окна НЯ с размерами  $20 \times 30 \text{ мм}^2$  и толщиной 1.2 мм изготовлены из хорошо отполированного кристаллического искусственного сапфира (локальные неровности полировки порядка 1 нм). Для обеспечения клиновидности зазора между окнами (в нижней части) помещались две платиновые полоски малых размеров и толщиной 1 мкм. Для минимизации двулучепреломления окна изготовлены так, чтобы  $C$ -ось была перпендикулярна поверхности окна. Сапфировый отросток (R — резервуар) заполнен натуральным Rb (72 % изотопа  $^{85}\text{Rb}$  и 28 % изотопа  $^{87}\text{Rb}$ ). Область с толщиной столба паров Rb в интервале 20–200 нм отмечена овалом. Видны интерференционные полосы, которые образуются при отражении света от внутренних поверхностей окон НЯ

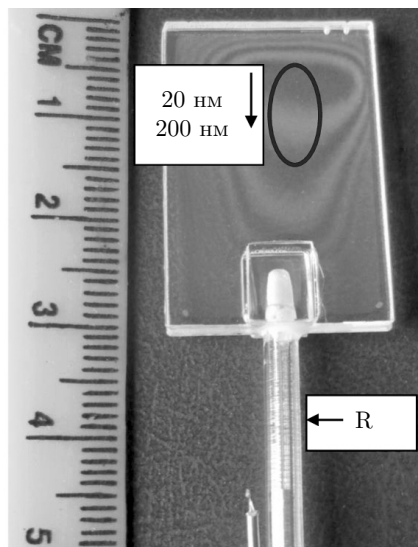


Рис. 1. Фотография наноячейки с сапфировым отростком (R — резервуар), которая заполнена Rb. Овалом показана область с толщиной столба паров атомов рубидия в интервале 20–200 нм. Видны интерференционные полосы, которые образуются при отражении света от внутренних поверхностей окон НЯ

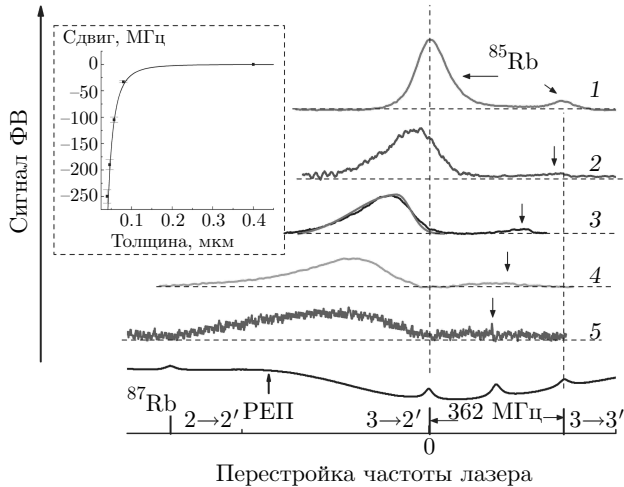
### 2.2. Экспериментальная установка

Схема экспериментальной установки для регистрации спектра сигнала фарадеевского вращения (ФВ) с использованием НЯ, приведена в работе [11]. Использовалось излучение непрерывных узкополосных диодных лазеров с внешним резонатором с длинами волн  $\lambda_1 = 795 \text{ нм}$  ( $D_1$ -линия) и  $\lambda_2 = 780 \text{ нм}$  ( $D_2$ -линия) и ширинами линий  $\sim 1 \text{ МГц}$ . НЯ помещалась в центре пар катушек Гельмгольца, что позволяло создавать продольное магнитное поле  $\mathbf{B}$  в направлении распространения лазерного излучения  $\mathbf{k}$ . Для формирования частотного репера (РЕП) часть лазерного излучения направлялась на Rb-ячейку с  $L = 30 \text{ мм}$ , и с помощью него формировался спектр насыщенного поглощения (НП). Для формирования линейно поляризованного излучения использовался поляризатор Глана–Тейлора ( $G_1$ ), а спектры сигналов ФВ регистрировались на выходе из второго скрещенного поляризатора  $G_2$  (который

также называют анализатором). Регистрация излучений проводилась фотодиодами ФД-24К. Сигналы с фотодиодов усиливались операционным усилителем и подавались на четырехлучевой цифровой осциллограф Tektronix TDS2014B. Для селекции сигнала ФВ использовались интерференционные фильтры IF ( $\lambda_1 = 795 \text{ нм}$  или  $\lambda_2 = 780 \text{ нм}$ ) с шириной пропускания на полувысоте 10 нм. Для формирования лазерного пучка диаметром 0.7 мм использовалась диафрагма.

### 2.3. Экспериментальные результаты и обсуждения: Rb, $D_1$ -линия

На рис. 2 показаны спектры сигналов ФВ на выходе из второго скрещенного поляризатора Глана  $G_2$  при изменении толщины НЯ от 398 нм (кривая 1) до 40 нм (кривая 5) при  $B = 15 \text{ Гс}$ , температуре резервуара НЯ  $160^\circ\text{C}$ , что соответствует плотности  $N_{\text{Rb}} \sim 10^{14} \text{ см}^{-3}$ . Кривая 1 получена при оптимальной толщине  $L = \lambda/2 = 398 \text{ нм}$ , при которой, как показано в работах [12, 13], угол ФВ имеет наибольшее значение (во всем интервале толщин 0.1–1 мкм). Толщина столба паров определялась методом, изложенным в работе [13]. Теоретическая модель, которая хорошо описывает особенности ФВ при толщинах  $L = \lambda/2$  и  $L = \lambda$  для Cs  $D_1$ -линии, приведена в работе [11]. Нижний спектр РЕП на рис. 2



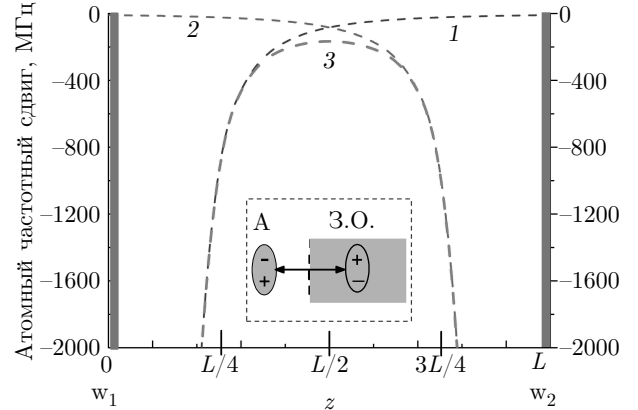
**Рис. 2.** (В цвете онлайн) Спектры сигнала ФВ для перехода  $^{85}\text{Rb}$  3–2', 3': кривая 1 для  $L = 398$  нм, нет смещения частоты; кривая 2 для  $L = 80 \pm 2$  нм, красное смещение частоты  $-30$  МГц; кривая 3 для  $L = 57 \pm 2$  нм, красное смещение  $-100$  МГц; кривая 4 для  $L = 46 \pm 2$  нм, красное смещение  $-190$  МГц; кривая 5 для  $L = 40 \pm 2$  нм, красное смещение  $-250$  МГц,  $B = 15$  Гс. Маленькие вертикальные стрелки показывают спектры ФВ для перехода 3–3'. Нижняя кривая РЕП — частотный репер на основе НП. На вставке приведена кривая зависимости частотного сдвига от  $L$

показывает несмешенное (реперное) положение частот переходов  $^{87}\text{Rb}$ , 2–2' и переходов  $^{85}\text{Rb}$ , 3–2' и 3–3'. Из сравнения кривых 1 и РЕП следует, что при толщине  $L = \lambda/2 = 398$  нм частоты атомных переходов не смешены, что объясняется относительно большим расстоянием между атомами и окнами НЯ. Из спектра видно, что при  $L = \lambda/2 = 398$  нм сигнал ФВ максимальен для атомного перехода  $^{85}\text{Rb}$ , 3–2'. В случае линейного ФВ угол вращения

$$\varphi_F \approx 2g_F\mu_B BL/\Gamma L_0, \quad (1)$$

где  $g_F$  — фактор Ланде,  $\mu_B$  — магнетон Бора в единицах  $\hbar$ ,  $B$  — магнитное поле,  $\Gamma$  — ширина линии атомного перехода,  $L_0$  — приведенная толщина [11]. Поскольку ширина линии атомного перехода имеет минимальное значение при  $L = \lambda/2$ , сигнал ФВ максимальен для этой толщины, при этом необходимая величина приложенного магнитного поля составляет всего несколько гауссов, однако с уменьшением  $L$  для уверенной регистрации сигнала ФВ необходимо увеличить магнитное поле примерно до 15 Гс.

Как показано в работе [14], угол ФВ плоскости поляризации минимален (за редким исключением) для переходов с одинаковой величиной полного углового момента атома  $F$  для нижнего и верх-



**Рис. 3.** (В цвете онлайн) Кривая 1 показывает красное смещение частоты, обусловленное окном НЯ  $w_1$ , кривая 2 — красное смещение частоты, обусловленное окном НЯ  $w_2$ , расстояние между окнами  $L = 50$  нм ( $0.05$  мкм). Общий частотный сдвиг, обусловленный окнами  $w_1$  и  $w_2$ , показан кривой 3. На вставке схематически показан атом  $A$  (в виде диполя) и его зеркальное отображение  $3.O.$  в диэлектрике (окно НЯ) [1]

него уровней: как видно из верхнего спектра, сигнал ФВ существенно меньше для перехода 3–3' атома  $^{85}\text{Rb}$  (см. рис. 2). При исследовании спектра ФВ при толщинах менее 70 нм слабый сигнал на переходе 3–3' своим низкочастотным крылом не иска- жает спектр на переходе  $^{85}\text{Rb}$ , 3–2', что, несомненно, является преимуществом использования сигнала ФВ. Отметим, что при исследовании спектра поглощения для атомов  $^{85}\text{Rb}$  при малых толщинах переходы 3–3' и 3–2', которые имеют близкие амплитуды пиковых значений поглощения, сильно перекрываются крыльями, а это затрудняет исследование индивидуального перехода [7]. Как видно из рис. 2, с уменьшением толщины  $L$  происходит «красное смещение» частоты максимума профиля ФВ, а также имеет место сильное асимметричное уширение в низкочастотную область, что является проявлением ван-дер-ваальсова взаимодействия атома со стенками (окнами) НЯ [1]. Заметим, что кривые 2–5 хорошо аппроксимируются следующими огибающими: высокочастотное крыло — гауссовой функцией, а низкочастотное крыло — функцией Фойгта (свертка гауссовой и лоренцевой функций). На кривой 3 показана аппроксимирующая огибающая (жирная розовая кривая), наложенная на экспериментальную кривую (черная кривая).

Для оценки сдвига частоты для Rb  $D_1$ -линии, возникающего вследствие взаимодействия атома с двумя ( $w_1$  и  $w_2$ ) диэлектрическими окнами наноячейки, на рис. 3 приведены частотные смещения от-

дельно для первого окна  $w_1$ :  $\Delta\nu_{vdW} = -C_3/z_1^3$  [1, 15] (кривая 1) и для второго окна  $w_2$ :  $\Delta\nu_{vdW} = -C_3/z_2^3$  (кривая 2), где  $z_1$  и  $z_2$  — расстояния от атома Rb до окон  $w_1$  и  $w_2$  (в микрометрах). Общий частотный сдвиг показан кривой 3, которая является суммой кривых 1 и 2 и выражается как [15]

$$\Delta\nu_{vdW} = -\frac{C_3}{z^3} - \frac{C_3}{(L-z)^3}. \quad (2)$$

Из формулы (2) видно, что для центра наноячейки,  $z = L/2$ , полный частотный сдвиг (обусловленный влиянием обоих окон наноячейки) составляет

$$\Delta\nu_{vdW} = -16C_3/L^3 \quad (3)$$

(см. также работу [16]). Нетрудно видеть (см. кривую 3), что спектральная плотность сигнала ФВ всегда максимальна для атомов, находящихся в центре наноячейки  $z = L/2$ , по следующей причине: частотный сдвиг для всех атомов, находящихся на расстоянии  $L/2 \pm 5$  нм от окон наноячейки, составляет  $\pm 30$  МГц вокруг значения сдвига частоты, достигаемого при  $z = L/2$  (для толщины наноячейки  $L = 50$  нм), в то время как частотный сдвиг для атомов, находящихся на расстоянии  $L/4 \pm 5$  нм (или  $3L/4 \pm 5$  нм) от окон наноячейки, составляет величину на несколько порядков больше (вокруг значения сдвига частоты, достигаемого при  $z = L/4$ ). Поэтому максимальная спектральная плотность сигнала ФВ достигается для атомов, находящихся вокруг центра наноячейки  $z = L/2$ , где частотный сдвиг по модулю минимален. Используя величину частотного смещения пика сигнала ФВ (при плотности  $N_{Rb} \sim \sim 10^{14}$  см<sup>-3</sup>, см. рис. 2) и формулу (3), для коэффициента  $C_3$  ван-дер-ваальсова взаимодействия для атома Rb (переход  $5S_{1/2}-5P_{1/2}$ ) с сапфировым окном НЯ получаем  $C_3 = (1.2 \pm 0.2)$  кГц·мкм<sup>3</sup>, что хорошо согласуется с величиной из работ [15, 17].

Здесь важно отметить следующее. В работе [15] было показано, что при толщинах наноячейки  $L > 200$  нм с увеличением температуры отростка НЯ (т. е. с увеличением плотности атомов Rb) на  $D_{1,2}$ -линиях из-за взаимодействия атомов Rb–Rb происходит сильное уширение спектра, однако сдвиг частоты атомных переходов отсутствует. Существенно иная ситуация при толщинах  $L \leq 100$  нм: в этом случае при увеличении температуры (т. е. плотности атомов Rb) от 170 °С до 208 °С происходит дополнительный красный частотный сдвиг (см. рис. 4). В этом случае величина  $N_{Rb}k^{-3} \geq 1$  (где  $k$  — волновое число), что означает сильное диполь–дипольное взаимодействие ато-

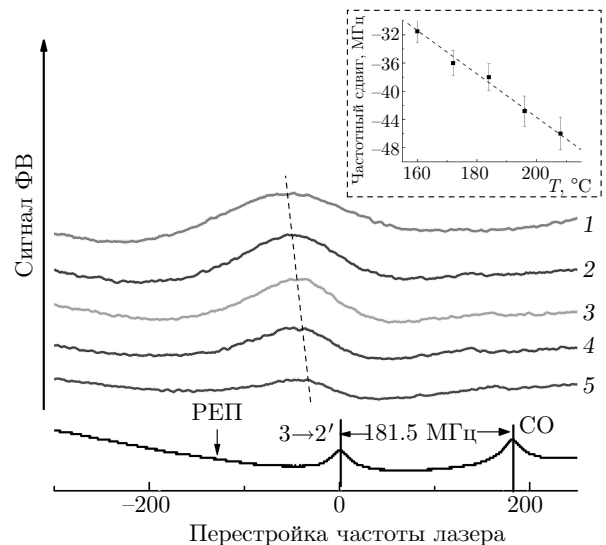
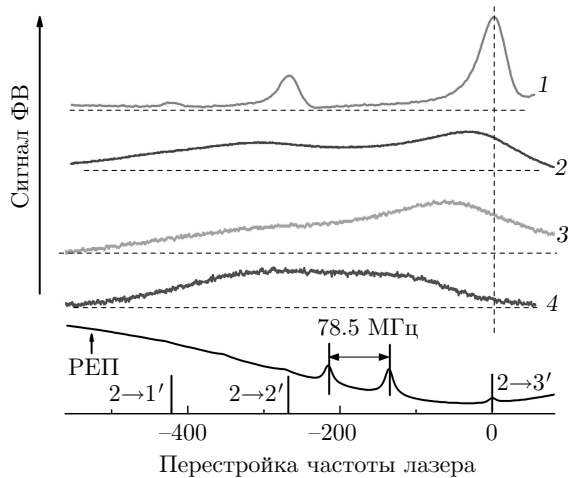


Рис. 4. (В цвете онлайн) Атом  $^{85}\text{Rb}$ ,  $D_1$ -линия: спектры сигнала ФВ в зависимости от температуры резервуара наноячейки 208 °С (1), 196 °С (2), 184 °С (3), 172 °С (4), 160 °С (5);  $L = 85$  нм. На вставке показана кривая зависимости сдвига красного смещения спектра ФВ от температуры. Нижняя кривая РЕП — частотный репер на основе НП, переход  $^{85}\text{Rb}$ ,  $3-2'$  и CO (cross-over)

мов Rb. Это подтверждает результаты по регистрируемому красному смещению в спектре поглощения при толщине 90 нм для атомов Rb  $D_2$ -линии с увеличением температуры [18]. Отметим, что для минимизации влияния взаимодействия Rb–Rb необходимо проводить измерения красного частотного смещения пика сигнала ФВ при возможно малых плотностях, когда начинает выполняться условие  $Nk^{-3} \ll 1$ . Последнее выполняется при температуре резервуара наноячейки не больше 140 °С ( $N = 4 \cdot 10^{13}$  см<sup>-3</sup>). Уменьшение температуры при исследуемых толщинах 40–80 нм обуславливает нежелательное сильное уменьшение отношения сигнал/шум, что ухудшает точность определения положения максимума пика сигнала ФВ. При температуре 140 °С происходит уменьшение величины красного смещения приблизительно на 10 %. Поправка, которая при этом возникает для коэффициента  $C_3$ , меньше приведенной в работе погрешности ( $\approx 30$  %). Увеличение сигнала ФВ путем увеличения магнитного поля в данном случае неприемлемо, поскольку, как показано в работе [19], при магнитных полях больших 20 Гс происходит сильное симметричное уширение спектра сигнала ФВ, которое искажает спектр, обусловленный ВВ-взаимодействием атома с окнами наноячейки. Поэтому единственным прием-

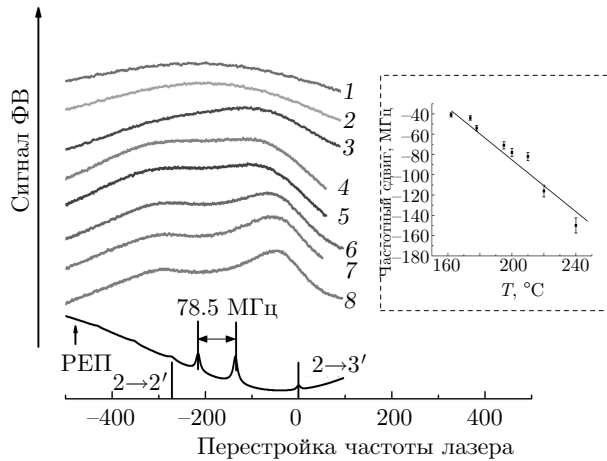


**Рис. 5.** (В цвете онлайн) Спектры сигнала ФВ в зависимости от толщины НЯ: кривая 1 для  $L = 390$  нм, смещение частоты отсутствует; кривая 2 для  $L = 100 \pm 2$  нм, красное смещение частоты  $-30$  МГц; кривая 3 для  $L = 75 \pm 2$  нм, красное смещение частоты  $-57$  МГц; кривая 4 для  $L = 60 \pm 2$  нм, красное смещение частоты  $-120$  МГц;  $B = 10$  Гс. Дальнейшее уменьшение  $L$  нецелесообразно, поскольку, как видно из рисунка, происходит сильное перекрытие спектров. Нижняя кривая РЕП — частотный репер на основе НП

лемым способом доведения сигнала до уровня уверенной регистрации является умеренное увеличение плотности атомов.

#### 2.4. Экспериментальные результаты и обсуждение: Rb, $D_2$ -линия

Для исследования влияния эффекта Ван дер Вальса на спектр  $D_2$ -линии при толщинах  $L \leq 100$  нм были выбраны переходы  $F_g = 2 \rightarrow F_e = 1, 2, 3$  атомов  $^{87}\text{Rb}$ , поскольку частотные интервалы между сверхтонкой структурой верхних уровней  $F_e = 1, 2, 3$  максимальны, что важно для уменьшения перекрытия спектров при их сильном уширении (в результате ВВ-взаимодействия). На рис. 5 приведены спектры сигнала ФВ при уменьшении толщины  $L$  от 390 нм (кривая 1) до 60 нм (кривая 4) в магнитном поле  $B = 10$  Гс при температуре резервуара НЯ  $160^\circ\text{C}$ . Нижний спектр РЕП показывает несмещенное положение частот переходов атомов  $^{87}\text{Rb}$ ,  $2-1'$ ,  $2'$ ,  $3'$ . Как видно на рис. 5, при толщине  $L = \lambda/2 = 390$  нм имеет место сильное сужение спектра сигнала ФВ (ширина  $\approx 40$  МГц) и все переходы  $F_g = 2 \rightarrow F_e = 1, 2, 3$  полностью спектрально разрешены, а также отсутствует красное смещение частот. При толщинах 100, 75 и 60 нм регистриру-



**Рис. 6.** (В цвете онлайн) Атом  $^{87}\text{Rb}$ ,  $D_2$ -линия: спектры сигнала ФВ в зависимости от температуры резервуара наоячайки:  $240^\circ\text{C}$  (1),  $220^\circ\text{C}$  (2),  $210^\circ\text{C}$  (3),  $200^\circ\text{C}$  (4),  $195^\circ\text{C}$  (5),  $178^\circ\text{C}$  (6),  $174^\circ\text{C}$  (7),  $162^\circ\text{C}$  (8);  $L = 75$  нм,  $B = 10$  Гс. На вставке показана кривая зависимости сдвига красного смещения спектра ФВ от температуры. Нижняя кривая РЕП — частотный репер на основе НП

ется красное смещение частоты. Используя выражение  $\Delta\nu_{vdW} = -16C_3/L^3$ , для коэффициента  $C_3$  имеем  $(1.6 \pm 0.2)$  кГц·мкм $^3$ , что хорошо согласуется с величиной из работ [7, 8]. Большая величина коэффициента  $C_3$  в случае  $D_2$ -линии (по сравнению с  $D_1$ -линией) предсказывалась в работе [2]. При толщинах НЯ  $L \leq 100$  нм, так же как и в случае  $D_1$ -линии, при увеличении температуры (т. е. плотности атомов Rb) от  $160^\circ\text{C}$  ( $N_{\text{Rb}} \approx 10^{14}$  см $^{-3}$ ) до  $240^\circ\text{C}$  ( $N_{\text{Rb}} \approx 2 \cdot 10^{15}$  см $^{-3}$ ) вследствие взаимодействия Rb–Rb происходит дополнительный красный частотный сдвиг, показанный на рис. 6.

Отметим, что поведение частоты атомного перехода при увеличении плотности паров атомов щелочного металла в условиях жесткого пространственного ограничения окнами наоячайки продолжает активно изучаться, поскольку выявляются новые, ранее неизвестные особенности. Так, в недавно опубликованной работе [20] показано следующее необычное поведение частоты атомного перехода калия  $D_2$ -линии при толщине НЯ  $L = 490$  нм: при увеличении плотности атомов калия имеет место синий частотный сдвиг, однако при дальнейшем увеличении плотности частотный сдвиг становится нулевым, т. е. частота перехода совпадает с исходной. Приведен теоретический расчет на основе кооперативного эффекта [20].

## 2.5. Применение эффекта ФВ для измерения сильных магнитных полей

На рис. 7 показан спектр сигнала ФВ ( $D_1$ -линия) в случае приложения сильного продольного магнитного поля  $B = 2300$  Гс при толщине  $L = 70$  нм. Наноячайка помещалась между сильными постоянными магнитами (из сплава неодим–железо–бор), имеющими небольшое отверстие для прохождения лазерного излучения и откалиброванными с помощью магнитометра Teslameter HT201 [17]. Приведено высокочастотное крыло, соответствующее спектру при использовании излучения с круговой поляризацией  $\sigma^+$ , в то время как спектр сигнала ФВ, соответствующий спектру при использовании излучения с поляризацией  $\sigma^-$ , сильно смещен по частоте и находится на низкочастотном крыле. Как показано в работах [17, 21–23], в таких сильных полях начинается разрыв связи между полным угловым моментом электрона  $\mathbf{J}$  и магнитным моментом ядра  $\mathbf{I}$  и расщепление атомных уровней описывается проекциями  $m_J$  и  $m_I$ . В этом случае для атомов  $^{85}\text{Rb}$ ,  $D_1$ -линии в спектре остаются шесть атомных переходов (обозначены цифрами 4–9 на правой диаграмме на вставке рис. 7) и четыре перехода для  $^{87}\text{Rb}$  (обозначены 1–3, 10 на левой диаграмме на вставке). Атомные переходы сильно уширены из-за влияния

ВВ-взаимодействия, однако пики (положения смещенных атомных переходов) хорошо выражены. Измерение магнитного поля может быть реализовано двумя методами: 1) по величине сдвига частоты перехода под номером 1 относительно реперной частоты (зависимость сдвига от величины  $B$  приведена на рис. 5 работы [17]), однако в этом случае необходимо учитывать дополнительный частотный сдвиг из-за влияния ВВ-взаимодействия; 2) (более удобный метод) определение зависимости отношения  $a/b$  от величины  $B$ , где  $a$  — частотный интервал между переходами  $^{87}\text{Rb}$  под номерами 1 и 10,  $b$  — частотный интервал между переходами под номерами 1 и 2 (см. рис. 7). Отметим, что красный частотный сдвиг из-за влияния ВВ-взаимодействия одинаков для этих переходов. Зависимость отношения  $a/b$  от величины  $B$  (неточность 5 %) приведена на рис. 5 в работе [17]. Заметим, что в этом случае нет необходимости в реперном спектре. При использовании метода, изложенного в работе [24], точность определения величины  $B$  может быть доведена до 0.1 %. Таким образом, с использованием спектра ФВ возможно определение магнитных полей с пространственным разрешением в 70 нм и, следовательно, могут быть измерены как однородные, так и сильно неоднородные (градиентные) магнитные поля. Эксперимент показывает, что аналогичные спектры ФВ регистрируются вплоть до магнитных полей 8 кГс с той лишь разницей, что частотные сдвиги сильно возрастают — до нескольких гигагерц. Отметим, что в работе [25] (рис. 5) исследовано ФВ в парах атомов Na при температуре 177 °С в ячейке длиной в несколько сантиметров и показано, что при магнитных полях в несколько килогауссов может происходить вращение плоскости поляризации на 180° и в этом случае сигнал ФВ в геометрии скрещенных поляризаторов отсутствует. Однако в случае НЯ длина ячейки меньше почти на шесть порядков, поэтому углы вращения значительно меньше.

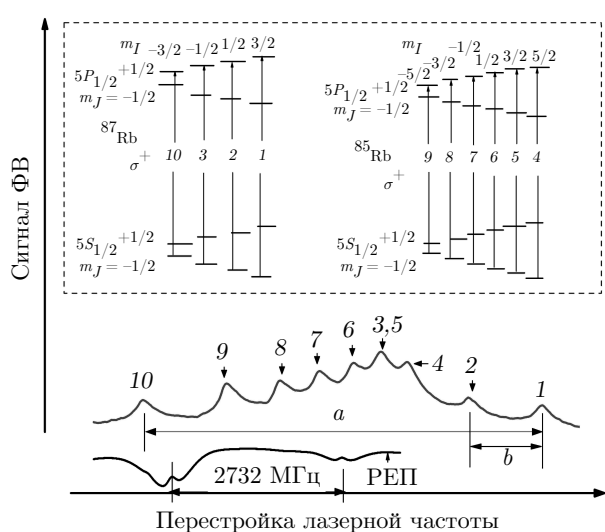


Рис. 7. Спектр сигнала ФВ,  $B = 2300$  Гс (высокочастотное крыло), толщина  $L = 70$  нм, температура отростка НЯ 140 °С. Для атомов  $^{85}\text{Rb}$ ,  $D_1$ -линии в спектре остаются шесть переходов (обозначены 4–9 на правой диаграмме на вставке) и четыре атомных перехода для атомов  $^{87}\text{Rb}$ ,  $D_1$ -линии (обозначены 1–3, 10 на левой диаграмме на вставке). Нижняя кривая РЕП — частотный репер на основе НП, переходы  $^{85}\text{Rb}$ , 2–3' и  $^{87}\text{Rb}$ , 1–2'

## 3. ЗАКЛЮЧЕНИЕ

Экспериментально продемонстрировано, что эффект фарадеевского вращения с использованием наноячайки является удобным инструментом для изучения взаимодействия атом–поверхность при расстояниях менее 100 нм. Для атомов  $^{85}\text{Rb}$   $D_1$ -линии удобным для изучения влияния ван-дер-ваальса взаимодействия является переход  $F_g = 3 \rightarrow F_e = 2$ , поскольку в этом случае удается спектрально отделить его от других сильно уширенных атомных

переходов. С уменьшением толщины  $L$  от 100 до 40 нм зарегистрирован красный сдвиг частоты сигнала ФВ, который возрастает от  $\sim 10$  МГц до 250 МГц, при этом уширение низкочастотного крыла возрастает до величины  $\sim 1$  ГГц. Для коэффициента  $C_3$  ВВ-взаимодействия для атома  $^{85}\text{Rb}$ , переход  $5S_{1/2}-5P_{1/2}$ , с сапфировым окном НЯ получено значение  $C_3 = (1.2 \pm 0.2)$  кГц·мкм $^3$  (для плотности атомов  $N_{\text{Rb}} \approx 2 \cdot 10^{14}$  см $^{-3}$ ). Для атомов Rb  $D_2$ -линии удобным для изучения влияния эффекта ван-дер-ваальса взаимодействия являются переходы  $^{87}\text{Rb}$ ,  $F_g = 2 \rightarrow F_e = 1, 2, 3$ , поскольку частотные интервалы между сверхтонкой структурой верхних уровней максимальны. Для коэффициента  $C_3$  ВВ-взаимодействия для атома  $^{87}\text{Rb}$ , переход  $5S_{1/2}-5P_{3/2}$ , получено значение  $C_3 = (1.6 \pm 0.2)$  кГц·мкм $^3$ . Коэффициенты  $C_3$  определялись при плотностях атомов, когда выполнялось условие  $N_{\text{Rb}}k^{-3} < 1$ , поэтому взаимодействие Rb–Rb привносит небольшую поправку.

При толщинах наноячейки  $L \leq 100$  нм, в случае  $D_{1,2}$ -линий, при увеличении плотности атомов Rb (когда  $N_{\text{Rb}}k^{-3} \geq 1$ ) происходит дополнительный красный частотный сдвиг, который отсутствует при  $L > 200$  нм. Отмечается, что при наличии дополнительных покрытий на окне НЯ или наличии резонансов в самом материале окна это может проявляться в спектре ФВ. Изготовление НЯ с окнами из других диэлектриков, стойких к агрессивным горячим парам щелочных металлов (например, из кристаллического граната и др.), позволит изучать ВВ-взаимодействие атомов с другим материалом. Следует отметить, что недавно изготовленная стеклянная наноячейка [26] сделает метод ФВ в тонких слоях более доступным для исследователей.

Экспериментально продемонстрировано, что эффект ФВ при толщине 70 нм может быть использован для измерения как однородных, так и неоднородных (градиентных) сильных магнитных полей вплоть до 8 кГс.

Авторы благодарят А. С. Саркисяна за изготовление наноячейки, а также А. Пашаян-Леруа и К. Леруа за полезные обсуждения. Авторы благодарят Армянский национальный фонд науки и образования за финансовую поддержку (грант ANSEF Opt 4732). А. А. благодарит AGBU France и Philipposian & Pilossian Foundation в Женеве, а также AUF & SCS (Bourse pour la mobilité scientifiques et universitaires conjoints AUF — Ministère de l'Education et des Sciences de la République d'Arménie, Comité National des sciences).

## ЛИТЕРАТУРА

1. D. Bloch and M. Ducloy, *Adv. Atom. Mol. Opt. Phys.* **50**, 91 (2005).
2. M. Chevrollier, M. Fichet, M. Oria, G. Rahmat, D. Bloch, and M. Ducloy, *J. Phys. II* **2**, 631 (1992).
3. G. Dutier, S. Saltiel, D. Bloch, and M. Ducloy, *J. Opt. Soc. Amer. B* **20**, 793 (2003).
4. T. A. Vartanyan and D. L. Lin, *Phys. Rev. A* **51**, 1959 (1995).
5. B. Zambon and G. Neinhuis, *Opt. Comm.* **143**, 308 (1997).
6. M. Fichet, G. Dutier, A. Yarovitsky, P. Todorov, I. Hamdi, I. Maurin, S. Saltiel, D. Sarkisyan, M. P. Gorza, D. Bloch, and M. Ducloy, *Europhys. Lett.* **77**, 54001 (2007).
7. K. A. Whittaker, J. Keaveney, I. G. Hughes et al., *Phys. Rev. Lett.* **112**, 253201 (2014).
8. K. A. Whittaker, J. Keaveney, I. G. Hughes et al., *Phys. Rev. A* **92**, 052706 (2015).
9. H. Failache, S. Saltiel, M. Fichet, D. Bloch, and M. Ducloy, *Phys. Rev. Lett.* **83**, 5467 (1999).
10. M. Chevrollier, M. Oriá, J. G. de Souza, D. Bloch et al., *Phys. Rev. E* **63**, 046610 (2001).
11. А. Саргсян, Е. Пашаян-Леруа, К. Леруа, Ю. Малакян, Д. Саркисян, Письма в ЖЭТФ **102**, 549 (2015).
12. А. Саргсян, Е. Пашаян-Леруа, К. Леруа, Д. Саркисян, ЖЭТФ **150**, 461 (2016).
13. А. Саргсян, А. Амирян, С. Карталева, Д. Саркисян, ЖЭТФ **152**, 54 (2017).
14. A. Weis, V. A. Sautenkov, and T. W. Hänsch, *J. Phys. II (France)* **3**, 263 (1993).
15. J. Keaveney, *Collective Atom Light Interactions in Dense Atomic Vapours*, Springer (2014).
16. C. I. Sukenik, M. G. Boshier, V. Sandoghdar, and E. A. Hinds, *Phys. Rev. Lett.* **70**, 560 (1993).
17. A. Sargsyan, A. Papoyan, I. G. Hughes, C. S. Adams, and D. Sarkisyan, *Opt. Lett.* **42**, 1476 (2017).
18. J. Keaveney, A. Sargsyan, U. Krohn, I. G. Hughes, D. Sarkisyan, and C. S. Adams, *Phys. Rev. Lett.* **108**, 173601 (2012).
19. А. Д. Саргсян, Г. Т. Ахумян, Д. Г. Саркисян, Изв. НАН Армении, Физика **47**, 98 (2012).

20. T. Peyrot, Y. R. P. Sortais, A. Browaeys, A. Sargsyan et al., Phys. Rev. Lett. **120**, 243401 (2018).
21. B. A. Olsen, B. Patton, Y. Y. Jau, and W. Happer, Phys. Rev. A **84**, 063410 (2011).
22. M. A. Zentile, R. Andrews, L. Weller et al., J. Phys. B: Atom. Mol. Opt. Phys. **47**, 075005 (2014).
23. A. Sargsyan, E. Klinger, A. Tonoyan, C. Leroy, and D. Sarkisyan, J. Phys. B: Atom. Mol. Opt. Phys. **51**, 145001 (2018).
24. E. Klinger, A. Sargsyan, C. Leroy, A. Papoyan, and D. Sarkisyan, *EGAS 50 Conference*, Poland, Book of Abstracts (2018), p. 67.
25. D. Budker, W. Gawlik, D. Kimball et al., Rev. Mod. Phys. **74**, 1153 (2002).
26. K. A. Whittaker, J. Keaveney, I. G. Hughes et al., J. Phys. Conf. Ser. **635**, 122006 (2015).